

06.2; 12

© 1992

МОЛЕКУЛЯРНО-ПУЧКОВАЯ ЭПИТАКСИЯ (МПЭ)  $GaAs$   
И ( $Al$ ,  $Ga$ ) $As$  НА РАЗОРИЕНТИРОВАННЫХ ПОДЛОЖКАХ  
 $GaAs$  (100).

Б. Я. Б е р, В. П. Е в . т и х и е в, А. Б. К о м и с с а р о в,  
А. О. К о с о г о в, Д. А. З у ш и н с к и й

Исследования, проведенные авторами [1, 2], показали, что разориентация подложек  $GaAs$  (100) в сторону (111) А на 0–12° улучшает электрофизические, оптические и морфологические свойства гетероструктур в системе  $GaAs$ – $AlGaAs$ . В работе [3] сообщалось, что преднамеренная разориентация подложек  $GaAs$  (100) в сторону (111) А на несколько градусов может приводить к улучшению параметров инжекционных  $AlGaAs/GaAs$  гетеролазеров, получаемых методом МПЭ.

В настоящей работе исследуется влияние разориентации подложки на процесс МПЭ  $GaAs$  в обычно используемом для изготовления приборных структур диапазона температур 620–720 °С. Ранее [8–11] было показано, что выращивание методом МПЭ слоев  $GaAs$  при температуре подложки выше 630 °С сопровождается десорбцией  $Ga$  и, как следствие, уменьшением скорости роста  $GaAs$ . Процесс десорбции изучался нами по измерению толщин выращенных слоев.

Образцы были получены на отечественной МПЭ-установке. Температура подложки определялась с помощью  $W-Re$  термопары и калибровалась до начала процесса роста по температуре десорбции окисла (585 °С), а также после проведения роста (при остаточном давлении  $As_2$  в камере менее  $10^{-8}$  Па) по температуре неконгруэнтного разложения свободно испаряющегося  $GaAs$  (620 °С) [4]. Соотношение потоков элементов У/Ш групп было откалибровано с помощью метода регистрации интенсивности осцилляций ДБЭ и фазовой диаграммы реконструкции поверхности  $GaAs$  (100) [5]. Образцы состояли из чередующихся слоев  $GaAs$  и  $AlGaAs$ , выращенных при возрастающей (от 620 до 720 °С) температуре подложкодержателя на подложках  $GaAs$  (100), разориентированных в направлении (111)А на 2, 4 и 6 градусов. Процесс эпитаксии проводился на всех типах подложек одновременно, что исключало сложности, связанные с воспроизведимостью установки ростовых параметров. Толщины и составы слоев были определены с помощью методов ПЭМ и Оже-профилирования. ПЭМ-исследования велись на электронном микроскопе EM 420 при ускоряющем напряжении 120 кВ в режиме темного поля в отражении ОО2, обеспечивающем высокую чувствительность к химическому составу [6] и разрешение – 0.6 нм. Типичное микроизображение представлено на

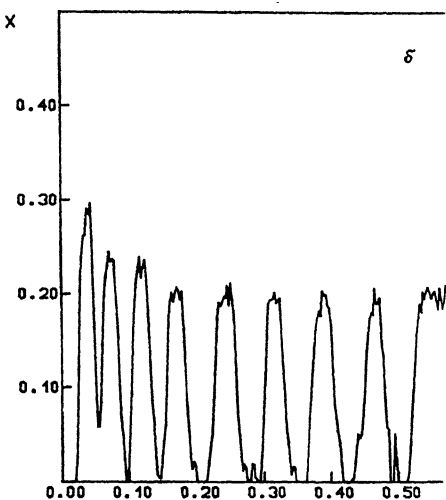
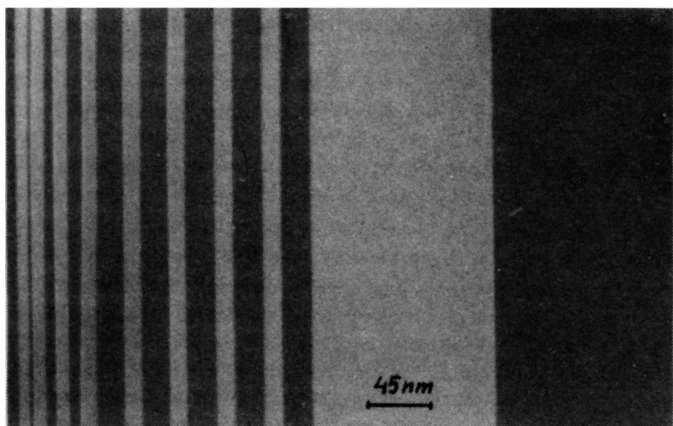


Рис. 1. а) Микроизображение скола гетероструктуры, полученной на подложке  $GaAs$  (100), разориентированной на 2 градуса в сторону (111). б) Оже-профиль распределения  $Al$  по глубине гетероструктуры.

рис. 1, а. Оже-профилирование структур проводилось на спектрометре MP2000 (РИБЕР) в режиме аналоговой регистрации [7]. Ионное травление осуществлялось ионами аргона с энергией 2 кэВ при угле падения на образец, отсчитанном от его нормали, равном  $60^{\circ}$ . Количественный анализ проводился на основе факторов элементной чувствительности, определенных на серии эталонных образцов ( $Al, Ga$ )As.

Типичные результаты Оже-анализа для разориентированной структуры представлены на рис. 1, б. Они демонстрируют уменьшение толщин слоев  $GaAs$  с возрастанием температуры роста. Процессы десорбции, происходящие во время роста, приводят к уменьшению

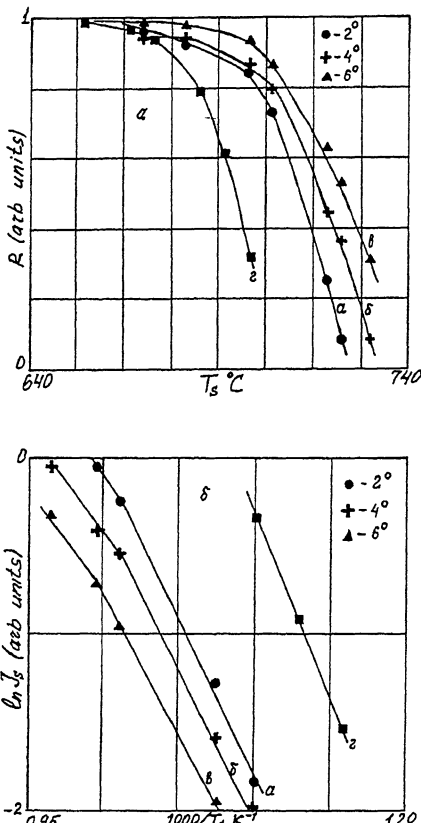


Рис. 2. а) Зависимость нормированной скорости роста от температуры роста для структур с разориентацией на  $2^{\circ}$ ,  $4^{\circ}$ ,  $6^{\circ}$ . б) Зависимость скорости десорбции от обратной температуры роста для структур с разориентацией на  $2^{\circ}$ ,  $4^{\circ}$ ,  $6^{\circ}$ .

скорости роста  $R$ , так как она пропорциональна результирующему потоку:  $J = (J_o - J_s)$ , где  $J_o$  – падающий поток  $Ga$ , а  $J_s$  – поток десорбированного  $Ga$ . Тогда скорость роста  $GaAs$  выразится как разность между измеренной низкотемпературной скоростью роста  $R_o$  (коэффициент прилипания  $Ga$  равен 1) и скоростью  $R_s$  десорбции  $GaAs$ .

На рис. 2 (а) представлены экспериментальные зависимости скоростей роста слоев  $GaAs$  (нормированных на свои низкотемпературные значения) от температуры подложки. Кривые „а”, „б”, „в” соответствуют подложкам, разориентированным соответственно на  $2$ ,  $4$  и  $6$  градусов в направлении  $(111)A$ .

Скорости роста для всех разориентированных подложек одинаковы до температуры  $T_g = 630^{\circ}C$  и равны  $0.5 \text{ мкм}/\text{ч}$ . Кривые „б” и „в” смешены в область более высоких температур относительно

кривой „а”. Данные авторов работы [8] для ориентированной поверхности  $GaAs$  (100) представлены кривой „г”.

На рис. 2(б) представлены скорости десорбции  $Ga$  с поверхности  $GaAs$  для подложек  $GaAs$  (100), разориентированных на 2, 4, и 6 градусов в направлении (111)А (линии „а”, „б”, „в” соответственно). Линия „г” построена по данным работы [8]. Используя простую кинетическую теорию [9], свяжем десорбируемый поток  $J_s$  с равновесным давлением  $Ga$  над поверхностью  $GaAs$  ( $P_{(Ga/GaAs)}$ ):

$$J_s(T) = P_{(Ga/GaAs)} / (2\pi m k T)^{1/2},$$

где  $m$  – молекулярная масса  $Ga$ ,  $k$  – постоянная Больцмана. В исследуемом диапазоне температур роста равновесное давление десорбируемого  $Ga$  приблизительно пропорционально десорбируемому потоку  $Ga$  [8]. Тогда процесс десорбции  $Ga$  может быть представлен в рамках термодинамической модели роста хорошо известным уравнением:

$$P_{(Ga/GaAs)} = A_{(sys)} \times P_{As_2}^{1/2} \times \exp(-E_a/kT), \quad (2)$$

где  $A_{(sys)}$  – системно-зависимый размерный множитель, учитывающий изменение энтропии системы при протекании реакции образования-разложения  $GaAs$ . Энергия активации  $E_a$  составляет по данным работ [8, 10, 11] от 3.7 до 4.7 эВ в случае  $As$ -стабилизированной поверхности и 2.7–2.9 эВ – для  $Ga$ -стабилизированной поверхности.

Из представленных данных следует:

1. Температурные зависимости процесса десорбции  $Ga$  с поверхностей  $GaAs$  (100), разориентированных на 2, 4 и 6 градусов в сторону (111) А, являются экспоненциальными.
2. Энергии активации процесса десорбции  $Ga$  с поверхности  $GaAs$ , определенные из наклонов линий „а”, „б”, „в” (рис. 2, б), не зависят от разориентации и равны 4.6 эВ в диапазоне 620–670 °C ( $As$  –стабилизированная поверхность), совпадающим с данными работ [8, 10]. В диапазоне температур подложки 670–720 °C энергия активации для всех подложек составила 2.7 эВ, что также соответствует данным работ [10, 11].

Из уравнения (2) следует, что смещение прямых „а”, „б” и „в” (рис. 2, б) друг относительно друга, может быть объяснено уменьшением равновесного давления  $As_2$  над поверхностями  $GaAs$  (100), разориентированными в направлении (111)А с увеличением угла разориентации.

Приведенные данные свидетельствуют, что процессы роста на разориентированных подложках могут быть описаны в рамках существующих термодинамических представлений.

# Список литературы

- [1] R a d y l e s c u D.C., W i c k s G.W., S c h a f f W.J., C a l a w a A.R., E a s t m a n L.F. // J. Appl. Phys. 1987. V. 62. P. 954.
- [2] T s u i R.K., C u r r l e s s J.A., K a r m e r G.D., P e f f l e y M.S., W i c k s G.W. // J. Appl. Phys. 1986. V. 59. P. 1508.
- [3] C h e n H.Z., G h a f f a r i A., M o r k o c H., Y a r i v A. // Appl. Phys. Lett. 1987. V. 51 (25).
- [4] M i z u t a n i T. // J. Vac. Sci. Technol. 1988. B 6(6). P. 1671.
- [5] N e w s t e a d S.M., K u b i a k R.A., P a r - k e r E.H.C. // J. Cryst. Growth. 1987. V. 81. P. 49.
- [6] P e t r o f f P.M. // J. Vac. Sci. Technol. 1973. V. 14. N 4. P. 973.
- [7] Б е р Б.Я., Г о л ъ б е р г А.Э., К о пъе в П.С. // Письма в ЖТФ. 1983. Т. 9. В. 12. С. 751-754.
- [8] H e c k i n g b o t t o m R. // J. Vac. Sci. Tech-  
nol. 1985. B 3. P. 573.
- [9] R a l s t o n J., W i c k s G.W., E a s t m a n J.F. // J. Vac. Sci. Techol. 1986. B4(2). P. 594.
- [10] G i b s o n E.M., F o x o n C.T., Z h a n g J., J o y c e B.A. // Appl. Phys. Lett. 1990. 57(12). P. 1203.
- [11] S p r i n g T h o r p e A.J., M a n d e v i l - l e P. // J. Vac. Sci. Technol. 1988. B 6(2). P. 754.

Поступило в Редакцию  
16 декабря 1991 г.